

ИССЛЕДОВАНИЕ НАПРЯЖЕННОГО СОСТОЯНИЯ ПРИ РАДИАЛЬНОМ СЖАТИИ ЦИЛИНДРА

Ю. С. БОГОМОЛОВ, Л. М. СЕДОКОВ, Л. Г. ЦЕХАНОВА

(Рекомендована к печати научным семинаром кафедры сопротивления материалов)

Анализ напряженного состояния цилиндров при радиальном сжатии между параллельными плитами пресса в пластической области представляет большой интерес, так как служит основой для изучения процессов поперечной ковки и прокатки.

Исследование проведено на образцах из сильно упрочняющейся стали Х18Н9Т методом измерения твердости. Основные характеристики этой стали следующие: предел текучести $26 \text{ кг}/\text{мм}^2$, предел прочности $62 \text{ кг}/\text{мм}^2$, условное относительное удлинение $\delta = 46,7\%$ и условное относительное сужение $\psi = 55\%$. Выбор стали для постановки эксперимента объясняется весьма значительным изменением ее твердости при пластическом деформировании.

Измерение твердости производилось на твердомере по шкале D под нагрузкой 100 кг. Эта шкала оказалась наиболее удобной для выбранного материала с исходной твердостью $H_b = 150$. Для сохранения подобия отпечатков использовался алмазный конусный наконечник.

Зависимость между твердостью стали и степенью ее деформации (интенсивностью напряженного состояния) определялась при линейном сжатии.

Чтобы получить значительные деформации при осевом сжатии и избежать существенного влияния трения на торцах, образцы деформировались последовательно в семь этапов. Первоначальные размеры образцов: высота $h_0 = 60 \text{ мм}$ и диаметр $d_0 = 24 \text{ мм}$ — выбраны с отношением $\frac{h_0}{d_0} = 2,5$. Это отношение принято на основании анали-

за кривых сжатия, полученных М. А. Большаниной [1]. Применение образцов с еще большим отношением высоты к диаметру приведет к потери устойчивости образца при его пластическом деформировании.

На первом этапе нагружение производится ступенями по 10 тонн. После каждого увеличения нагрузки измеряются размеры деформированного образца и твердость его. При отношении $\frac{h_i}{d_{\max}} \approx 1$, что соответствует нагрузке 100 тонн, деформированные образцы перетачивались. Здесь и в дальнейшем под h_i понимается изменяющаяся высота образца в процессе деформирования, а d_{\max} — его максимальный диаметр в тот же момент. При переточке высота образцов оста-

ется неизменной, а диаметр уменьшается до значения d_i так, чтобы получить отношение $\frac{h_i}{d_i}$ равным 1,5. Как показали опыты, образцы

диаметром $d_i \leq 20 \text{ м.м}$ при отношении $\frac{h_i}{d_i} > 1,5$ при нагрузке в несколько десятков тонн дают перекос. Поэтому в дальнейшем на остальных этапах нагружения отношение $\frac{h_i}{d_i}$ принимается не более 1,5.

После переточки на втором этапе образцы вновь подвергались сжатию до уменьшения отношения $\frac{h_i}{d_i} \approx 1$ и измерялись как твердость, так и изменяющиеся размеры образцов. Далее следовала вторая переточка с уменьшением диаметра образцов, чтобы получить отношение $\frac{h_i}{d_i}$ равным 1,5; затем следующий этап деформирования и т. д.

На седьмом этапе деформирования после шестой переточки размеры образцов составляли $h_i = 7,5 \text{ м.м}$ и $d_i = 5 \text{ м.м}$.

Интенсивность напряжения σ_i при осевом сжатии равна истинному напряжению сжатия

$$\sigma_i = S_{\text{сж}} = \frac{P}{F_0} (1 - \varepsilon_{\text{сж}}). \quad (1)$$

Здесь P — нагрузка в кг,

F_0 — площадь первоначального сечения в мм^2 ;

$\varepsilon_{\text{сж}}$ — относительная деформация при сжатии.

Интенсивность деформации при осевом сжатии определяется из соотношения:

$$e_i = \ln \frac{h_0}{h_i} + \frac{\sigma_i}{3G} \approx \ln \frac{h_0}{h_i}, \quad (2)$$

где h_0 — первоначальная высота образца до деформирования в м.м ;

h_i — высота образца после приложения нагрузки, м.м ;

G — упругий модуль сдвига, $\text{кг}/\text{мм}^2$.

На основании результатов опытов построены графики зависимости интенсивности напряжений и интенсивности деформаций от твердости (рис. 1). Полученный тарировочный график следует считать приближенным, так как, несмотря на принятые меры, деформация образцов была неравномерной, а твердость измерялась на торцах, где, как известно

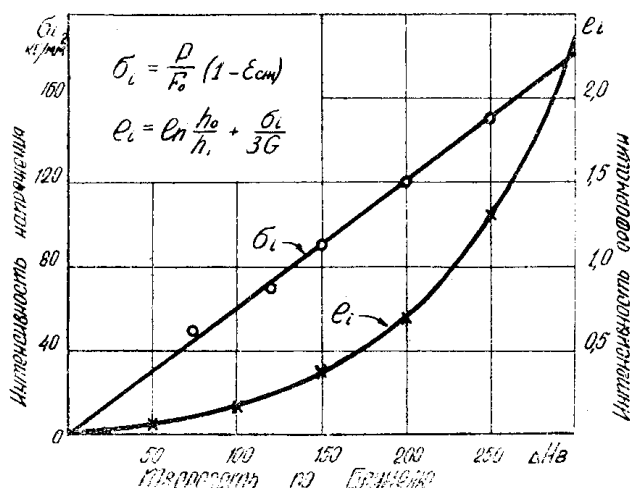


Рис. 1. Зависимость между интенсивностью напряжения (деформации) и твердостью.

[1], деформация несколько меньше, чем определяемая по формуле (2).

Из теории малых упруго-пластических деформаций известно [2], что интенсивность напряжений является вполне определенной функцией интенсивности деформаций, не зависящей от характера напря-

женного состояния. В первом приближении можно предположить, что зависимость напряжения от твердости (рис. 1) при осевом сжатии может быть распространена на случай радиального сжатия, представляющий плоское напряженное состояние.

Таким образом, графики рис. 1 могут быть использованы для того, чтобы по величине изменяющейся твердости пластически деформируемого цилиндра судить об интенсивности деформации (напряжения).

Основная серия опытов приводилась на 6 дисках диаметром 45 мм и длиной 20 мм . Эти диски подвергались радиальному сжатию, т. е. сжимались между двумя параллельными плитами таким образом, что ось образцов оставалась параллельной плитам пресса. Величина нагрузки, определяющая степень обжатия, составляла 11,5; 20, 30, 50, 70 и 95 тонн, условная относительная деформация изменялась от 2,7 до 39 %.

Продеформированные образцы торцевались на несколько миллиметров для снятия наплыков металла, обусловленных деформированием по направлению оси дисков, и подвергались шлифовке. По торцам образцов наносились рейсмусом сетки рисок с шагом 1,5 - 2 мм . В точках пересечения рисок измерялась твердость на половине площади торцов вследствие симметрии дисков. Для некоторых образцов (сжатых до нагрузки 20 и 30 тонн) с целью проверки и усреднения результатов твердость измерялась по всей площади торца диска.

Полученные данные о величине твердости в различных точках торцов образцов позволили построить изосклэры (линии равных твердостей). Картинны изосклэры (рис. 2) довольно близко соответствуют фотографиям изохром (линий главных касательных напряжений), приведенным в работе [3] для случая ковки на прямоугольных бойках. Это обстоятельство позволяет сделать вывод, что, несмотря на ряд допущений, Е. Н. Унковым и В. Н. Заварцевой получена вполне реальная качественная картина распределения напряжений по сечению вала методом фотоупругости.

Обработка результатов исследования для определения напряжений в точках поперечного сечения образцов выполнена в двух вариантах расчета. В первом варианте за основу принята зависимость величины максимальных касательных напряжений при осевом сжатии от твердости. Максимальное касательное напряжение для линейного сжатия

$$\tau_{\max} = \frac{S_{\text{сж}}}{2} = \frac{\sigma_i}{2}, \quad (3)$$

поэтому его величина легко определяется из графика (рис. 1).

Распространяя зависимость между максимальными касательными напряжениями и твердостью при линейном сжатии на случай радиального сжатия диска, можно определить по изменившейся величине твердости значения максимальных касательных напряжений в точках поперечного сечения образцов.

Во втором варианте расчета по изменившейся твердости в точках поперечного сечения цилиндра при радиальном сжатии определяется интенсивность напряжения. Для перехода от интенсивности напряжения σ_i к главным нормальным и максимальным касательным напряжениям использованы эпюры распределения напряжений и соотношения главных напряжений, приведенные в работе [3].

Разница между максимальными касательными напряжениями, определенными двумя вариантами расчета, невелика и составляет 5 - 7 %. Следовательно, предлагаемая методика определения компо-

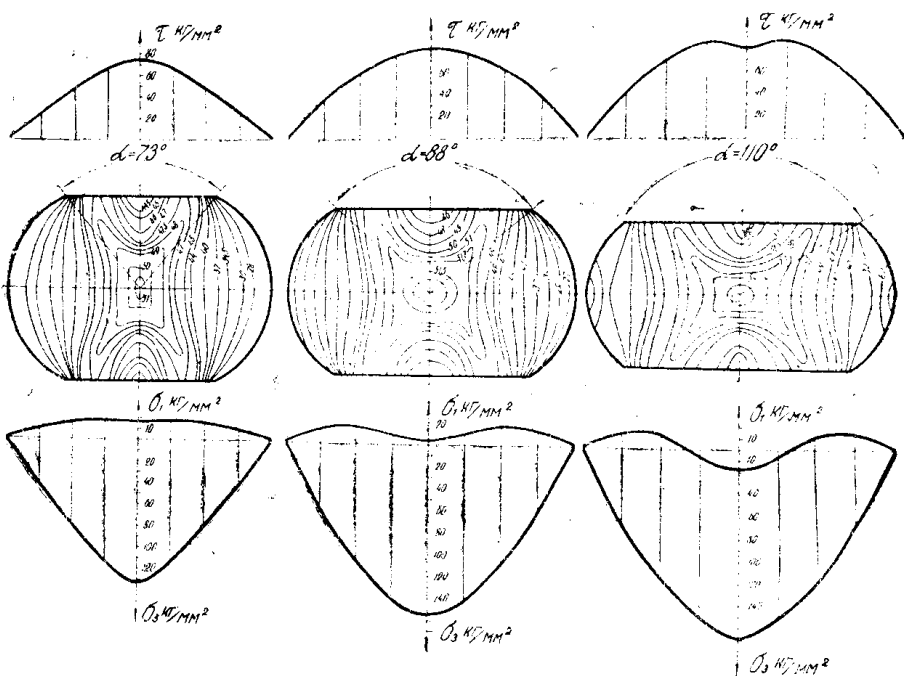
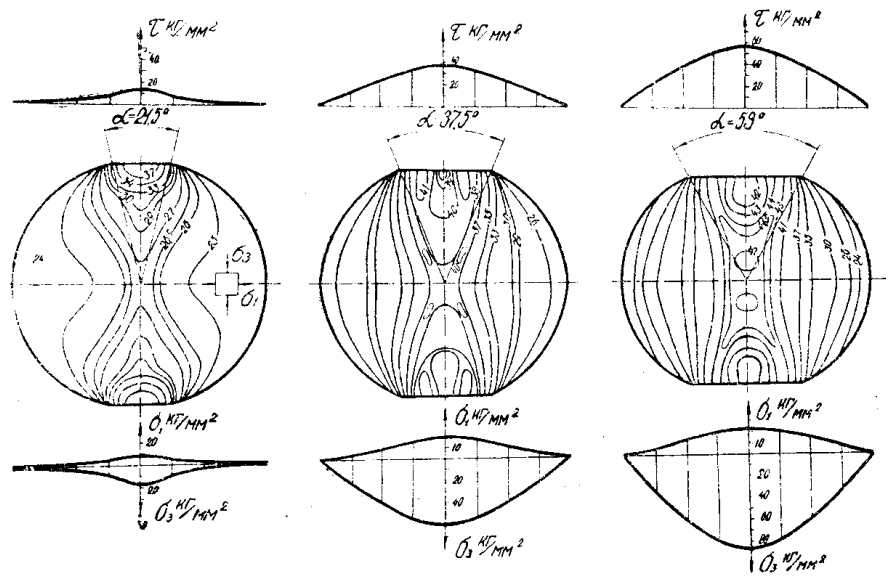


Рис. 2. Изосклары при различных степенях обжатия образцов.

нентов напряженного состояния испытанием твердости может быть признана удовлетворительной.

Проведенное исследование позволяет зафиксировать первоначальные очаги возникновения пластической деформации, оценить степень неравномерности перехода металла в пластическое состояние. Так, на рис. 3 приведена зависимость интенсивности напряжения для нескольких точек поперечного сечения образца от погонной нагрузки. Эти графики показаны для тех характерных точек, в которых на разных этапах деформирования интенсивность напряжения была максимальной.

На первом этапе деформирования при нагрузке до 600 кг/мм максимальная интенсивность напряжения наблюдается в точке *A*, лежащей практически на площадке, по которой происходит действие сжимающей силы. Далее с увеличением погонной нагрузки от 1000 до 1500 кг/мм максимальная интенсивность напряжения отмечается в точке *B*. Таким образом, волна распространения наибольшей интенсивности напряжения, а следовательно, и наибольших деформаций, переходит с поверхности в глубь цилиндра.

Наконец, при увеличении погонной нагрузки до 2500 кг/мм максимальная интенсивность напряжений оказывается в центре диска, в точке *O*. После этого дальнейшее увеличение нагрузки (в опытах она достигала 4700 кг/мм) не приводит к изменению расположения зоны максимальной интенсивности напряжения. Она остается в центральной части цилиндра.

Таким образом, при увеличении степени деформирования текущесть поверхностных слоев первоначально максимальная, затем затормаживается и идет вглубь, распространяясь в центральную часть цилиндра. Очевидно, непрекращенный металл будет иметь место до тех пор, пока максимальная интенсивность не появится в центре цилиндра. Эта степень деформации характеризуется погонной нагрузкой 2500 кг/мм и условной относительной деформацией $\delta=20\%$.

ЛИТЕРАТУРА

1. В. Д. Кузнецов. Физика твердого тела. Т. 2, Томск, изд-во, ТГУ, 1941.
2. Г. А. Смирнов-Аляев. Сопротивление материалов пластическому деформированию. Машгиз, 1961.
3. Е. П. Унков, В. М. Заварцева. Исследование напряжений в металле при ковке валов и штанг. Вестник машиностроения, № 3, 1955.

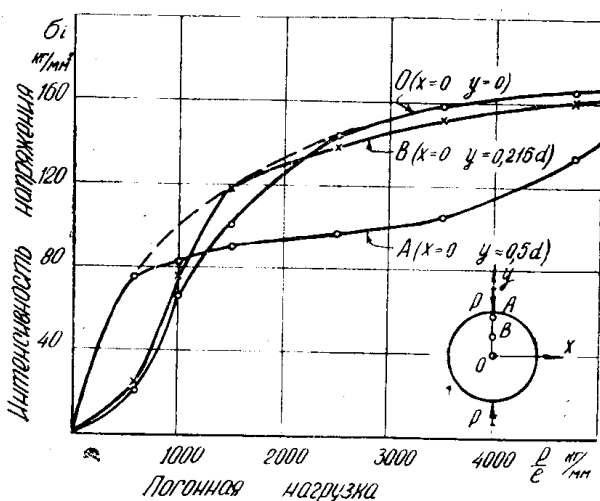


Рис. 3. Зависимость интенсивности напряжения для точек поперечного сечения образца от величины погонной нагрузки.